

超超临界锅炉用 HR3C 钢的 σ 相析出行为研究*

王 慧 程从前 赵 杰 杨 鹭

(大连理工大学材料科学与工程学院, 大连 116023)

摘 要 利用 OM, SEM 和 TEM 研究了一种超超临界用 HR3C 钢在 700 和 750 °C 长期时效至 2000 h 过程中 σ 相的析出行为, 借助相计算方法探究了影响 σ 相析出的因素. 结果表明, HR3C 钢在 700 和 750 °C 时效 1000 h 就有不规则块状第二相在晶界析出, 且随时效时间延长而增多和粗化; EDS 分析表明该相主要含 Fe 和 Cr, 结合 SAED 的分析结果最终确定其为 σ -Fe-Cr 金属间化合物; 通过相计算方法对初始态 HR3C 钢进行分析认为, 显微组织或相结构等差异可能是影响后续 σ 相析出行为的原因.

关键词 HR3C 钢, 时效, σ 相, 相计算方法, 显微组织

中图法分类号 TG142.73

文献标识码 A

文章编号 0412-1961(2015)08-0920-05

STUDY ON σ PHASE PRECIPITATION OF HR3C STEEL
USED IN ULTRA-SUPERCritical BOILER

WANG Hui, CHENG Congqian, ZHAO Jie, YANG Zhi

School of Materials Science and Engineering, Dalian University of Technology, Dalian 116023

Correspondent: ZHAO JIE, professor, Tel: (0411)84709076, E-mail: jiezhao@dlut.edu.cn

Supported by National Natural Science Foundation of China (Nos.51171037 and 51134013)

Manuscript received 2015-01-08, in revised form 2015-05-20

ABSTRACT HR3C steel is a new type of austenitic heat-resistant steel which has been widely used for super-heater and re-heater tubes in the ultra-supercritical (USC) boiler. The mechanical properties of HR3C steel were dependent on the stability of the microstructure, particularly the large amount of precipitates formed during service. The precipitation of σ phase in HR3C steel during long-term aging for 2000 h at temperature of 700 and 750 °C was investigated by OM, SEM and TEM. The phase calculation method was applied to understand the factors influencing the precipitation. After 1000 h of the aging duration, irregular mass second phase was found to precipitate at the grain boundary, followed by the subsequent increasing and coarsening with time. The constituent elements of the phases were determined as Fe and Cr through SEM equipped with EDS. Further SAED analysis results led to the confirmation that these phases were basically σ -FeCr compound. Combined with the prediction made through New PHACOMP method, the microstructure or phase structure in initial state may affect the subsequent precipitation behavior.

KEY WORDS HR3C steel, aging, σ phase, phase computation, microstructure

通过提高超临界(SC)、超超临界(USC)机组锅炉蒸汽参数改善火电厂发电效率, 节约煤炭资源, 保护环境, 是未来火电建设的主要发展方向. HR3C 钢是在 TP310H 奥氏体不锈钢基础上添加 N 和 Nb 元素研制出来的. 因其具有良好的高温力学性能、

耐腐蚀性能及优异的工艺性能, 成为超超临界电站锅炉过热器和再热器管的首选材料^[1-6].

在超超临界工作环境下, HR3C 钢长期服役过程中第二相的析出行为是国内外都比较关注的. Bai 等^[6]研究指出, HR3C 钢在 650 °C 时效 300 h 过程中, 主要是 $M_{23}C_6$ 相在晶界和孪晶界上快速析出, 随着时效时间的延长, 会有 MX 颗粒的进一步析出和长大; Wang 等^[7]指出, $M_{23}C_6$ 相的尺寸比 Z 相(CrNbN)更易受时效时间和温度的影响, 认为 $M_{23}C_6$ 的粗化是

* 国家自然科学基金项目 51171037 和 51134013 资助

收到初稿日期: 2015-01-08, 收到修改稿日期: 2015-05-20

作者简介: 王 慧, 女, 1990 年生, 硕士生

DOI: 10.11900/0412.1961.2015.00028

HR3C 钢长期时效过程中高温屈服强度下降的主要原因; Sandström 等^[8]分析了 HR3C 钢中 Nb(C, N) 的析出强化作用. 目前, 关于 HR3C 钢中 σ 相析出问题的研究尚比较少见. 文献 [9,10] 指出, HR3C 钢在长时间蠕变阶段 σ 相的析出受到抑制; 殷尊等^[11]对运行 25000 h 后的 HR3C 钢进行压扁实验发现其明显脆化, 并将材料脆化原因归结为晶界 $M_{23}C_6$ 向 M_6C 型碳化物转变的结果; 本课题组的前期工作^[12]从住友 HR3C 钢在 750 °C 时效 500 h 的微结构分析中发现 NbCrN 和 $M_{23}C_6$ 等相, 并通过萃取粉末的 X 射线衍射 (XRD) 谱发现 σ -FeCr 相, 结合透射电镜 (TEM) 中的能谱 (EDS) 确定晶界 $M_{23}C_6$ 内出现的新相可能是高 Cr 的 σ 相, 但是并没有给出更准确的结构性分析.

本工作针对 HR3C 钢中 σ 相析出问题, 主要分析了 HR3C 钢在 750 °C 时效过程中的析出相构成, 借助基于 d 电子合金理论的新相计算方法预测 σ 相的析出倾向, 并探究了影响 σ 相析出行为的因素, 为 HR3C 钢在 USC 机组中长期服役运行状态的评估提供依据.

1 实验方法

实验材料为外径 45 mm, 壁厚 7 mm 的未使用过的 HR3C 钢管材, 该管材在约 1093 °C 进行过固溶处理. X 射线荧光光谱分析 (XRF) 测得其化学成分 (质量分数, %) 为: Fe 53.26, Cr 24.91, Ni 19.78, Mn 1.30, Nb 0.39, Si 0.32, S 0.006, P 0.029. 从 HR3C 钢管上通过电火花线切割切取试样. 在 SX-5-12 型高

温厢式电阻炉中进行时效处理, 时效温度为 700 和 750 °C, 时效时间分别为 500, 1000 和 2000 h, 将时效后的试样从电阻炉中取出进行空冷. 对不同热处理状态的 HR3C 钢 (包括固溶态) 进行机械研磨、抛光预处理, 表面腐蚀. 腐蚀液选取: 固溶态和时效 2000 h 的 HR3C 钢选用稀释到浓度为 40% 的王水 ($HCl:HNO_3=3:1$), 腐蚀时间分别为 4 和 20 min; 时效 500 和 1000 h 的 HR3C 钢均采用 10% 的草酸 ($C_2H_2O_4 \cdot 2H_2O$) 电解腐蚀, 电解参数约为 5 V 和 3 s.

用 MEF4 型金相显微镜 (OM) 观察 HR3C 钢初始态以及在 700 和 750 °C 时效不同时间的试样的显微组织结构. 采用 JSM-5600LV 型扫描电子显微镜 (SEM) 分析初始态及 750 °C 时效 2000 h 的 HR3C 钢试样中相的成分及分布, 再借助 Tecnai G² 20S 型透射电子显微镜 (TEM) 对后者晶界大尺寸析出相进行选区电子衍射 (SAED) 分析. 初始态 HR3C 钢的第二相种类通过 EPMA-1600 型电子探针确定.

最后采用基于 d 电子合金理论的新相计算方法 (New PHACOMP), 按合金或第二相成分计算平均电子轨道参数值, 预测 HR3C 钢中 σ 相的析出倾向.

2 实验结果及讨论

2.1 HR3C 钢中的析出相分析

HR3C 钢不同热处理状态的微观组织如图 1 所示. 对比初始态和时效后的 HR3C 钢试样可以看出, HR3C 钢基体上均分布有颗粒状物质, 时效后颗粒尺寸增大, 数量上也有所增加, 并且晶界更加明

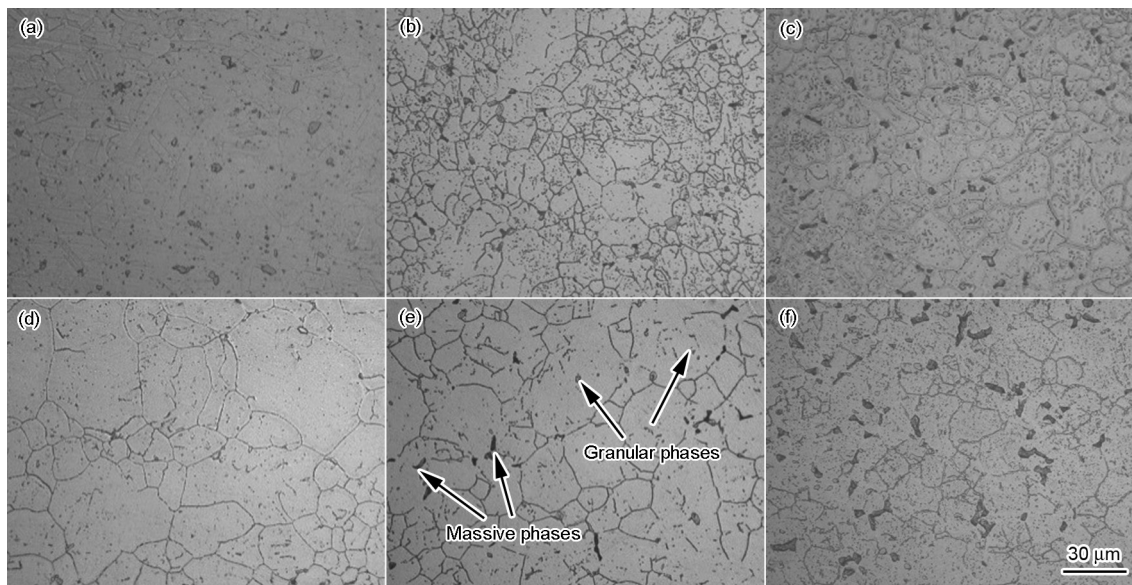


图 1 HR3C 钢不同热处理状态微观组织 OM 像

Fig.1 OM images of microstructures for HR3C steel at different heat treatment states

(a) initial (b) 700 °C, 1000 h (c) 700 °C, 2000 h
(d) 750 °C, 500 h (e) 750 °C, 1000 h (f) 750 °C, 2000 h

显. 对比在 700 和 750 °C 时效不同时间的试样发现, 当时效时间达 1000 h 时, 有明显的块状第二相在晶界析出, 尺寸较大. 随着时效时间的增加, 该块状析出物有明显的增多和粗化现象.

图 2 为 750 °C 时效 2000 h 的 HR3C 钢试样中晶界处大尺寸析出相的 SEM 像及 EDS 分析结果. 从图 2a 可以看出, 该类相位于晶界, 为不规则的块状, 尺寸 5~10 μm , 其为图 1 中时效后晶界观察到的黑色块状析出相. 该相的 EDS 分析结果如图 2b 所示. 可知其主要成分是 Fe 和 Cr, 并含有少量的 Ni 和 Si, 而且 Fe 与 Ni 的原子分数之和与 Cr 的含量近乎一致. 胡平等^[13]研究指出, 在铁基合金中, σ 相通常是四方结构, 可以写成 FeCr 和 $(\text{Fe}, \text{Ni})_x(\text{Cr}, \text{Mo})_y$, 成分可在一定范围内变化, 倾向于在晶界特别是晶界三相点形核, 呈颗粒状或连续膜状分布, 其大量析出会造成晶界的弱化、脆化^[14,15]. 根据成分及形貌可以初步判定该相为四方结构的 σ 相.

图 3 为 750 °C 时效 2000 h 的 HR3C 钢的 TEM 像、SAED 谱及晶界大尺寸析出相的 EDS 分析结果. 由图可见, 该相尺寸约为 10 μm , 形状不规则, 与图 1 和 2 中所示的晶界析出相相似. 根据图 3b 中 EDS 分

析结果可知, 该相主要含有 Cr 和 Fe, 也有少量 Ni, 其成分与图 2b 中结果十分相近, 可以确定为同种析出相. 综合该第二相的析出位置、形貌、SAED 谱及 EDS 结果, 最终可以确定该析出相为四方结构的 σ -FeCr 相. 本实验材料为某国产 HR3C 钢, 本课题组的前期工作在住友 HR3C 钢中初步确定 σ 相的析出^[12], 这里给出了更准确的结构分析结果, 说明 HR3C 钢在 700 和 750 °C 长期时效过程中, σ 相的析出行为不是偶然现象. 而在 Fe-Cr-Ni 系中, 当 σ 相的含量大于或等于 5%, 合金的冲击韧性就显著降低^[16], 因而 HR3C 钢在使用过程中 σ 相的析出问题需要引起重视.

2.2 相计算方法分析影响 HR3C 钢中 σ 相析出的原因

相计算是一种预测合金中析出拓扑密堆相 (TCP) 倾向的重要方法, 其理论基础是认为 TCP 相是电子化合物, 电子因素是影响其形成的主要因素. 通过上百种铁基、钴基和镍基高温合金的计算和验证, 表明基于 d 电子合金理论的新相计算 (New PHACOMP) 方法比建立在电子空穴理论的相计算 (PHACOMP) 方法预测结果更切合实际^[17]. 因此, 本工作采用基于 d 电子合金理论的新相计算方法, 它

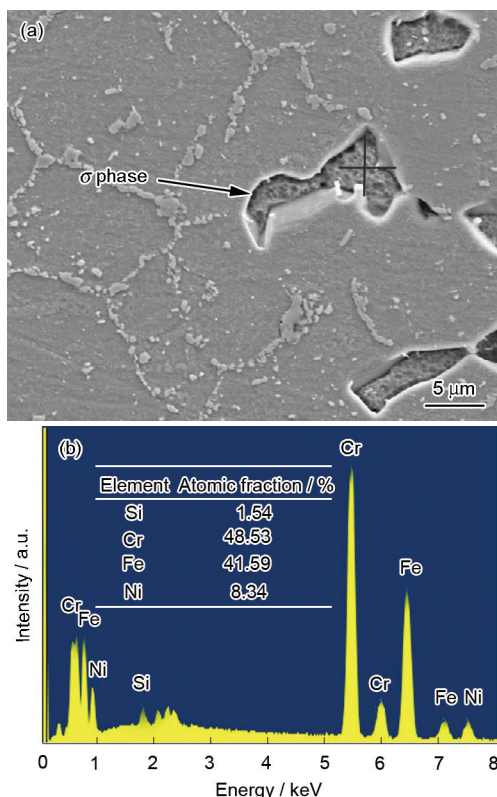


图 2 750 °C 时效 2000 h 后 HR3C 钢的 SEM 像及 EDS 分析
Fig.2 SEM image of HR3C steel after aging at 750 °C for 2000 h (a) and EDS analysis of large pieces precipitated phase at the grain boundary (b)

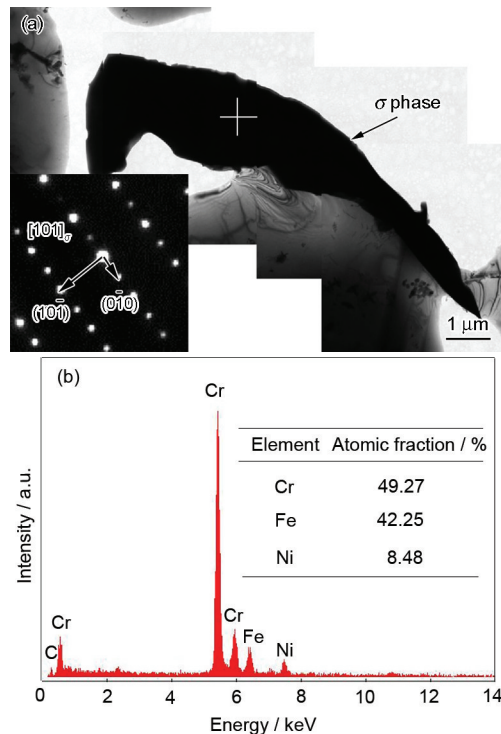


图 3 750 °C 时效 2000 h 后 HR3C 钢晶界大尺寸析出相的 TEM 像和 SAED 谱及 EDS 分析

Fig.3 TEM image and SAED pattern (inset) of large size precipitated phase at grain boundary of HR3C steel after aging at 750 °C for 2000 h (a) and EDS analysis of the phase (b)

是以 DV-Xa Cluster 分子轨道计算为基础发展起来的合金设计方法^[18]. 用单一电子轨道参数 Md (合金元素的 d 轨道能) 来表征原子尺寸、电负性及合金化诸因素的综合影响. 按合金(或某一相)成分计算平均 Md 为:

$$\overline{Md} = \sum_{i=1}^n X_i (Md_i) \quad (1)$$

式中, X_i 和 Md_i 分别为合金元素 i 的摩尔分数及 Md .

根据 d 电子合金理论, 合金元素的 Md 越低越利于相的稳定, 各元素对应的 Md 分别为^[19]: Fe 0.858, Ni 0.717, Cr 1.142, Mn 0.957, Si 1.900, Nb 2.117.

铁基高温合金形成 σ 相的临界值 \overline{Md}_c 为 0.900^[18], 超过这一临界值, 材料便会有形成 σ 相的倾向, 且随着 \overline{Md} 的增大, σ 相的析出倾向会增大. 根据 XRF 测得的 HR3C 钢成分计算得到 \overline{Md} 为 0.910, 说明从 HR3C 钢的整体成分设计上来看, \overline{Md} 值在临界值附近, σ 相的析出倾向不是很大. 但是, 本工作表明 HR3C 钢在 700 和 750 °C 时效 1000 h 晶界就有比较明显的 σ 相析出; 前期工作对住友 HR3C 钢的研究也发现这种晶界大尺寸析出相(在此已确认为 σ 相)在 700 °C 时效 2500 h, 750 °C 时效 2000 h 也有比较明显的析出^[20]. 一方面, 说明 HR3C 钢在 700 和 750 °C 时效过程中析出 σ 相不是偶然现象; 另一方面, 说明成分相同的 2 种 HR3C 钢在相同时效条件下 σ 相析出所需时间存在明显差异. 本工作的实验温度高于 HR3C 钢的实际使用温度 620~680 °C^[1,21], 其目的是利用高温对时效的加速作用, σ 相析出的本质等同于 HR3C 钢使用过程的实际析出过程, 因而, HR3C 钢实际长期服役过程中 σ 相析出问题非常值得关注.

初始态 HR3C 钢显微组织及相结构的 SEM 分析结果如图 4 所示. 初始态 HR3C 钢中弥散分布着很多白色第二相颗粒, 尺寸大小不等, 大的近 3 μm (图 4a), EDS 分析其成分主要含有 Nb, Cr 和 N (图 4c), EPMA 微区成分分析表明该相原子的摩尔分数比为 Nb:Cr:N=33.045:31.143:35.879 \approx 1:1:1, 由此可知其应为固溶处理后奥氏体中未完全溶解的 CrNbN 相^[6,7]. 文献[11,15]指出, σ 相只有在基体中 C 和 N 含量足够低时才能够析出. 初始态 HR3C 钢中 CrNbN 相的析出会使得基体中 N 减少, 为 σ 相的析出创造了有利条件. 借助相计算方法, 在图 4a 中选取 1 和 2 不同区域, 其 EDS 结果分别如图 4b 和 c 所示. 图 4b 和 c 中的成分利用式(1)计算得到: 奥氏体基体区域 1 的 \overline{Md} 为 0.910, 与临界值相近; 区域 2 的 \overline{Md} 为

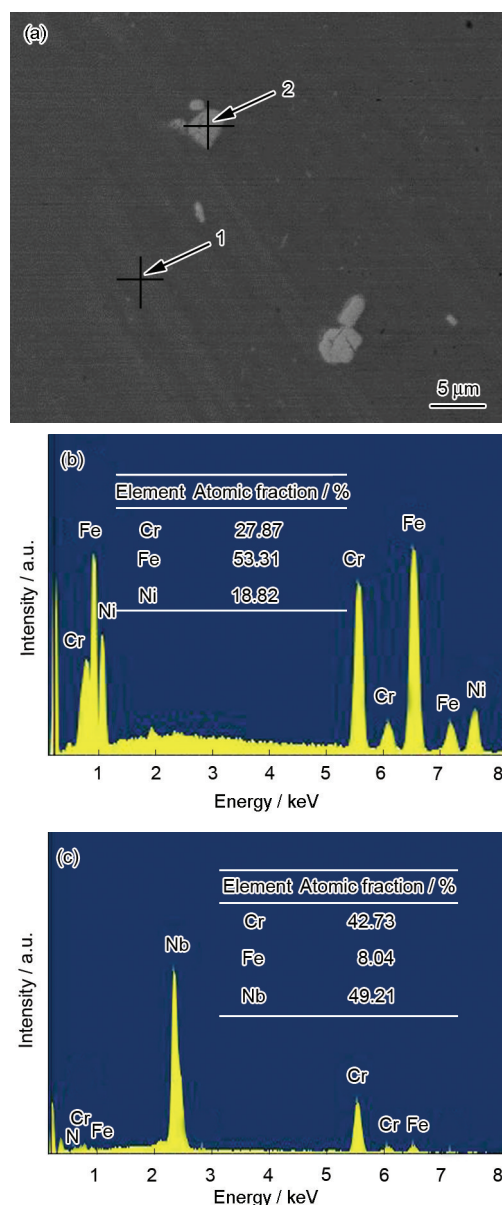


图 4 初始态 HR3C 钢的 SEM 像及 EDS 分析

Fig.4 SEM image of microstructure of initial state HR3C steel (a) and EDS analysis of austenitic matrix (point 1) (b) and CrNbN phase (point 2) (c)

1.599, 相比区域 1 大很多. 可知初始态 HR3C 钢不同区域的 \overline{Md} 值存在着差异. 结合相计算结果推测, 如果排除成分设计对于本工作用 HR3C 钢与住友 HR3C 钢析出 σ 相难易程度的影响, 那么初始态 HR3C 钢的显微组织或相结构等差异可能是影响后续时效过程 σ 相析出行为的原因. 但是, 对于影响 σ 相析出的具体原因仍需进一步研究.

3 结论

(1) 通过 EDS 和 SAED 分析, 最终确定了 HR3C 钢在 700 和 750 °C 长期时效过程中在晶界处会析出

四方结构的 σ 相.

(2) 结合新相计算方法分析初始态 HR3C 钢, 认为显微组织或相结构等差异可能是影响后续 σ 相析出行为的原因.

参考文献

- [1] Yang F, Zhang Y L, Ren Y N, Li W M. *New Heat-Resistant Steels Welding*. Beijing: China Electric Power Press, 2006: 143
(杨 富, 章应霖, 任永宁, 李为民. 新型耐热钢焊接. 北京: 中国电力出版社, 2006: 143)
- [2] Zhou R C, Fan C X. *Electric Power*, 2005; 38(8): 41
(周荣灿, 范长信. 中国电力, 2005; 38(8): 41)
- [3] Tang L P. *Appl Energy Technol*, 2007; (10): 20
(唐利萍. 应用能源技术, 2007; (10): 20)
- [4] Shirzadi A, Jackson S. *Structural Alloys for Power Plants: Operational Challenges and High-Temperature Materials*. Cambridge: Woodhead Publishing, 2014: 105
- [5] Sawaragi Y, Teranishi H, Makiura H, Miura M, Kubota M. *Sumitomo Met*, 1985; 37(2): 166
- [6] Bai X, Pan J, Chen G, Liu J, Wang J, Zhang T, Tang W. *Mater Sci Technol-Lond*, 2014; 30(2): 205
- [7] Wang B, Liu Z D, Cheng S C, Liu C M, Wang J Z. *J Iron Steel Res Int*, 2014; 21: 765
- [8] Sandström R, Farooq M, Zurek J. *Mater Res Innov*, 2013; 17: 355
- [9] Igarashi M. In: Yagi K, Merklings G, Kern T U, Irie H, Warlimont W eds., *Landolt-Bornstein: Numerical Data and Functional Relationships in Science and Technology, Group VIII: Advanced Materials and Technologies*. Vol.2, Berlin: Springer-Verlag, 2004: 292
- [10] Iseda A, Okada H, Semba H, Igarashi M. *Energy Mater*, 2007; 2: 199
- [11] Yin Z, Cai H, Liu H G. *Proc Chin Soc Electrical Eng*, 2011; 31(29): 103
(殷 尊, 蔡 辉, 刘鸿国. 中国电机工程学报, 2011; 31(29): 103)
- [12] Fang Y Y, Zhao J, Li X N. *Acta Metall Sin*, 2010; 46: 844
(方园园, 赵 杰, 李晓娜. 金属学报, 2010; 46: 844)
- [13] Hu P, Wang Z W, Li Z G. *Guangdong Electric Power*, 2010; 23(5): 16
(胡 平, 王志武, 李正刚. 广东电力, 2010; 23(5): 16)
- [14] Sourmail T, Bhadeshia H K D H. *Mater Sci Technol*, 2005; 36: 23
- [15] Sahlaoui H, Sidhom H. *Metall Mater Trans*, 2013; 44: 3077
- [16] Talbot A M, Furman D E. *Trans ASM*, 1953; 45: 429
- [17] Zhang J S, Cui H, Hu Z Q. *Mater Sci Eng*, 1993; 11(3): 1
(张济山, 崔 华, 胡壮麒. 材料科学与工程, 1993; 11(3): 1)
- [18] Guo J T. *Physics*, 1982; 11: 661
(郭建亭. 物理, 1982; 11: 661)
- [19] Liu Y, Deng B, Chen J S, Zhong Z Y. *J Mater Eng*, 1997; 7: 23
(刘 瑛, 邓 波, 陈金生, 仲增墉. 材料工程, 1997; 7: 23)
- [20] Fang Y Y. *Master Thesis*, Dalian University of Technology, 2010
(方园园. 大连理工大学硕士学位论文, 2010)
- [21] Masuyama F. *ISIJ Int*, 2001; 41: 612

(责任编辑: 毕淑娟)